

京都大学 正員 米田 稔
 京都大学 正員 井上 順輝
 京都大学 学生員 滝根 直哉

1. はじめに

河川への地下水浸出地点を推定するため、放射性希ガスである ^{222}Rn の濃度が地下水中で高く河川水中では低くなることを利用する方法がある¹⁾。河川水中 ^{222}Rn 濃度の測定法としてはトルエンに ^{222}Rn を抽出する方法などが用いられているが、測定後のトルエンの処分や試料水の採取に細心の注意を必要とするなど問題点も多い。そのため本研究では空気中 ^{222}Rn 濃度の測定に用いられている活性炭放置積算法を水中 ^{222}Rn 濃度の測定に応用して、この測定法の有効性を検証するとともに、本研究の測定法を実河川に適用して実際に地下水浸出地点の推定を行う。

2. 活性炭放置積算法による水中

 ^{222}Rn 濃度測定

B. L. Cohen らは空気中で拡散バリアを通して外部と接する容器内の活性炭への ^{222}Rn の吸着量を表す式を求めており²⁾。本研究では拡散バリアとしてのポリエチレン膜でできた袋に活性炭を入れて密封し、この袋を水中に沈めたときの活性炭への ^{222}Rn の吸着量を表す式を以下のように求めた。まず袋内 ^{222}Rn 量の時間変化が膜を通しての ^{222}Rn の濃度差に基づく拡散と放射性崩壊によると考えて次式が成立と仮定する。

$$\frac{dQ}{dt} = \frac{DA}{L} (\bar{C}_0 - \bar{C}_i) - \lambda Q \quad (1)$$

ここで、 Q : 袋内 ^{222}Rn 量 [Bq] , D : 拡散係数 [cm^2/sec] , A : 膜が水と接する面積 [cm^2] , L : 膜の厚さ [cm] , \bar{C}_0 : 膜が水と接する面上での ^{222}Rn 濃度 [Bq/cm^3] , \bar{C}_i : 膜が袋内空気と接する面上での ^{222}Rn 濃度 [Bq/cm^3] , λ : 崩壊定数 [$=2.1 \times 10^{-6} \text{ sec}^{-1}$] 。 \bar{C}_0 と \bar{C}_i について、水中 ^{222}Rn 濃度 C_0 と袋内空気中 ^{222}Rn 濃度 C_i との間に次の関係を仮定する。

$$\bar{C}_0 = K_d C_0, \quad \bar{C}_i = K_s C_i \quad (2)$$

ここで K_d , K_s はそれぞれ分配係数である。また活性炭への ^{222}Rn の吸着速度が十分速く、平衡状態に達するまでの時間を無視できるとして次式を仮定する。

$$Q = (k m + v) C_i \quad (3)$$

ここで、 k : 吸着係数 [$\text{Bq/g-charcoal per Bq/cm}^3\text{-air}$] , m : 活性炭質量 [g] , v : 袋内空気容積 [cm^3] 。(2), (3)式を(1)式に代入して変形して $t=0$ で $Q=0$ の条件下解くと、 C_0 が時間的に変動するとき次式が得られる。

$$Q = \frac{PA}{L} \int_0^t C_0(s) \exp[-\lambda(1+\beta)(t-s)] ds \quad (4)$$

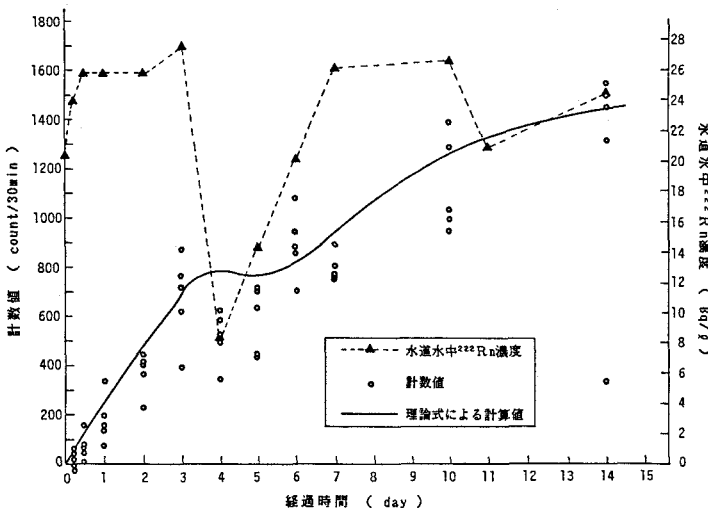


図1 活性炭に吸着した ^{222}Rn による γ 線の計数値と水道流水中 ^{222}Rn 濃度の経時変化(水温15~16°C)

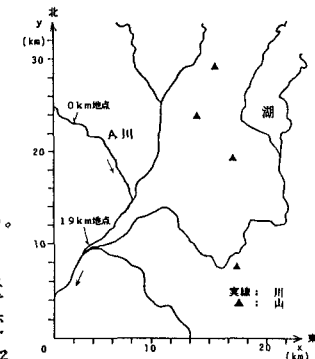


図2 測定河川

ここで $P = D K_d$, $\beta = D A K_s / L \lambda (km + v)$ 。 $C_0 = \text{一定のとき}$ (4) 式は次式となる。

$$Q = \frac{C_0 P A}{L \lambda (1 + \beta)} (1 - \exp [-\lambda (1 + \beta) t]) \quad (5)$$

よって 1 に比べて β が十分小さく β を無視できるときは、袋内 ^{222}Rn 量 Q は不確定な要素となりやすい k の値に影響されず $P A / L$ に比例するようになり、 $C_0 = \text{一定のときは}$ C_0 の定量的測定も可能となる。

3. 水道流水中における検証実験

(4) 式において $1 + \beta = 1$ と近似した式が成立するかどうかを検証するため以下のような実験を行った。①厚さ $L = 0.002\text{cm}$ の低密度ポリエチレンで $3\text{cm} \times 8\text{cm}$ の袋を作り、この中に活性炭 2g を入れて密封したものを多数作る。②①で作成した袋を水道水を流し続けている水槽の中に浸し、ある時間毎に 5 個ずつ取り出して試験管に入れ密封し、 ^{222}Rn とその娘核種が永続平衡になるように最低数時間放置した後、オトウェルガムカウンターで ^{222}Rn の娘核種である ^{214}Bi から出る γ 線を測定する。③ある時間毎に水道水を採取し、 ^{222}Rn をトルエンに抽出し液体シンチレーションカウンターで測定する方法で³⁾、水道水中 ^{222}Rn 濃度を求める。

実験結果を図 1 に示す。図 1 中の実曲線は (4) 式で $1 + \beta = 1$ とおいたものから計算したものであり、これと計数値 N とが比較的一致していることから、(4) 式で $1 + \beta = 1$ と近似した式を用いても実用上はさしつかえないと考えられる。

4. 実河川への適用

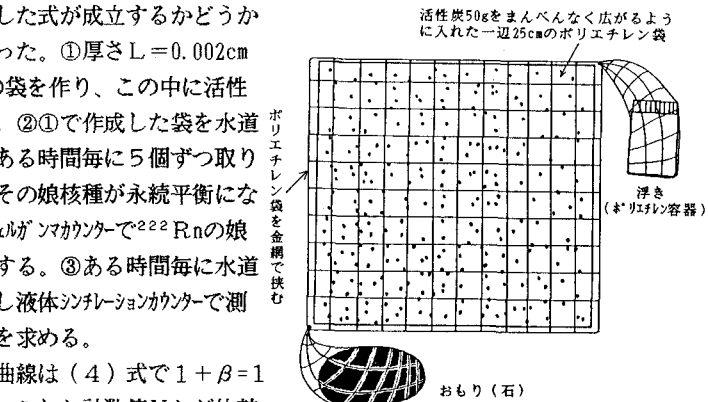
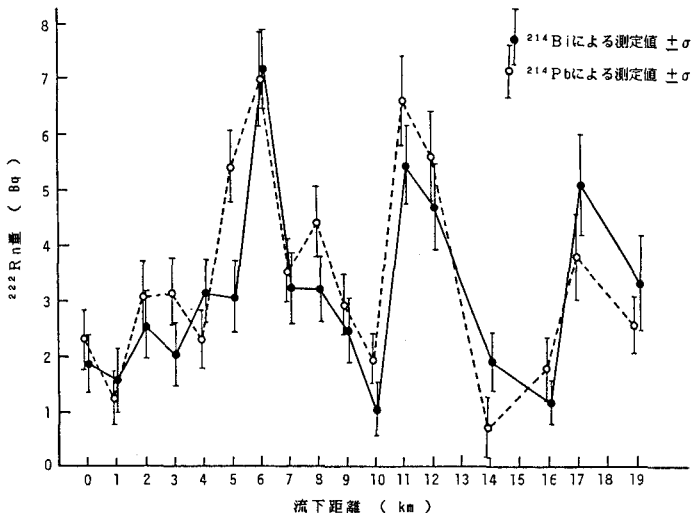
図 2 に示す三方を山に囲まれたある盆地の A 川において ^{222}Rn 濃度の測定を行った。 ^{222}Rn 捕集器としては図 3 に示すものを釣糸をつけて A 川に 1 km おきに沈め、2 週間後回収して活性炭を入れたポリエチレン袋ごとシール容器に入れ密封し、一晩放置した後、高純度 Ge 半導体検出器で ^{222}Rn の娘核種 ^{214}Pb と ^{214}Bi から放出される 352keV と 619keV の γ 線を計測し、捕集器回収時の捕集器内 ^{222}Rn 量を求めた。結果を図 4 に示す。図 4 より 5, 6 km 地点、11, 12 km 地点、17 km 地点付近に地下水の浸出があることが予想できる。

5.まとめ

本研究では活性炭放置積算法により水中の ^{222}Rn 濃度の測定が可能であること、および本研究の方法を用いた実河川での ^{222}Rn 濃度の測定により地下水浸出地点の推定が可能であることを示した。

(参考文献)

- 1) 木村; 水中のラドンの測定とその応用 (1) 水文学, Radioisotopes 27巻12号, 日本RI協会, 1978
- 2) Cohen B. L. and R. Nason; A diffusion barrier charcoal adsorption collector for measuring Rn concentration in indoor air, Health Physics, 50(4), 457-463, 1986
- 3) 野口; 液体シンチレーションによる Radon の放射能測定, Radioisotopes 13巻5号, 日本RI協会, 1964

図3 ^{222}Rn 捕集器図4 捕集された ^{222}Rn 量と流下距離の関係